

© 1991

АНИГИЛИЯ ПОЗИТРОНОВ  
В ДЕФЕКТНЫХ КРИСТАЛЛАХ  $\text{Ga}_2\text{S}_3(\text{Se}_3)$ ,  
ЛЕГИРОВАННЫХ ПЕРЕХОДНЫМИ  
И РЕДКОЗЕМЕЛЬНЫМИ ЭЛЕМЕНТАМИ

И. М. Аскеров, В. Ф. Мастеров, В. Н. Кондратьев,  
К. Г. Биннатов, Г. К. Асланов, А. О. Мехрабов,  
Х. Ф. Гаджиев

Приводятся результаты измерений углового распределения аннигиляционных квантов (УРАГК) и спектра времени жизни позитронов в дефектных соединениях  $\text{Ga}_2\text{S}_3$  и  $\text{Ga}_2\text{Se}_3$ , легированных переходными и редкоземельными элементами. Установлено, что легирование приводит к существенному изменению параметров спектров УРАГК и времени жизни позитронов. На основе полученных экспериментальных данных вычислена концентрация центров захватывающих позитронов, которая составляет  $(0.7-0.9) \cdot 10^{18} \text{ см}^{-3}$ .

В работах [1-3] методами ЭПР и ЯГР было показано, что в дефектных кристаллах типа  $\text{A}_2^{\text{III}}\text{B}_3^{\text{VI}}$  вследствие высокой концентрации собственных дефектов наблюдается значительная растворимость примесей (Fe, Mn, Eu, и установлена природа химической связи и зарядового состояния атомов примесей. Анализ спектров ЭПР и ЯГР показал, что примесные атомы не замещают атомы решетки, а взаимодействуют с вакансиями, образуя «двойной» центр типа  $(\text{Me}^{2+}-\text{V}_{\text{Ga}}^-)^0$  (где Me=Fe, Mn, Eu).

Несмотря на значительное число работ, посвященных изучению примесных состояний в дефектных кристаллах типа  $\text{A}_2^{\text{III}}\text{B}_3^{\text{VI}}$  различными методами, природа дефектов и электронная структура примесных центров до сих пор не выяснены.

Аннигиляции позитронов являются перспективным неразрушающим методом изучения электронной структуры примесных центров в полупроводниковых материалах и обладают высокой чувствительностью к дефектам кристаллической решетки. Этот метод также успешно применяется для определения концентрации заряженных и нейтральных центров в дефектных кристаллах [4]. Измерения и анализ времени жизни позитронов, зависящих от состояния электрона и позитрона в момент аннигиляции, позволяют получить прямую ценную информацию об электронной структуре в решетке и в области дефекта.

В настоящей работе представлены результаты изучения спектров углового распределения аннигиляционных гамма-квантов (УРАГК) и времени жизни позитронов в дефектных кристаллах  $\text{Ga}_2\text{S}_3(\text{Se}_3)$ , содержащих различное количество примесей (Fe, Mn, Eu) с целью идентификации дефектов в этих материалах.

Спектры УРАГК измерены при комнатной температуре на стандартном длинношелеевом спектрометре с угловым разрешением 1 мрад. Источником позитронов был выбран радиоактивный изотоп  $^{22}\text{Na}$  активностью 5 мКи, имеющий период распада, равный 2.6 года. Число импульсов в максимуме спектра углового распределения  $5 \cdot 10^4$ . Погрешность в изменении интенсивности аннигиляционного излучения не превышала 0.5 %.

Измерения времени жизни позитронов проводились на спектрометре, имеющем разрешение по кривой мгновенных совпадений от радиоактивного источника  $^{60}\text{Co}$  300 пс. Для записи и анализа спектров использовался анализатор амплитуд импульсов АИ-1024 на линии с ЭВМ, имеющий дополнительную цифровую стабилизацию. Проводился двухкомпонентный анализ спектров времени жизни позитронов по программе на основе алгоритма «POSITRONFLT EXTENDED» с учетом функции временного разрешения поверхностных эффектов.

### $N \cdot 10^{-3}$ , счет совпадений

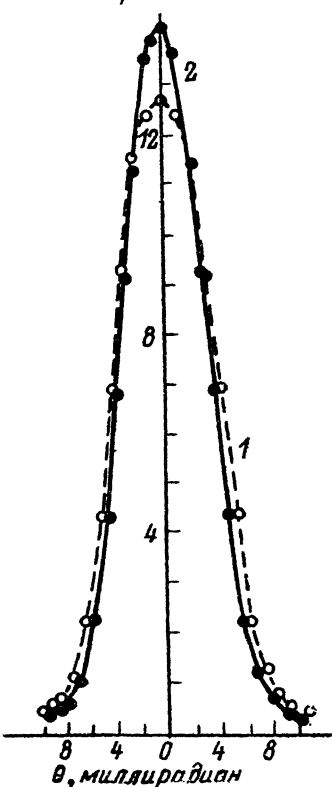


Рис. 1. Спектр УРАГК для «чистых»  $\text{Ga}_2\text{S}_3$  (1) и легированных  $\text{Ga}_2\text{S}_3\langle\text{Fe}\rangle$  (2) при 290 К.

видно, что легирование приводит к увеличению приведенной высоты  $N_0$  и уменьшению полуширины  $\Gamma_0$  спектра. Отсюда можно заключить, что при легировании в соединении  $\text{Ga}_2\text{S}_3$  возрастает количество центров захвата позитронов. Это заключение подтверждают результаты измерений спектров УРАГК в соединениях  $\text{Ga}_2\text{S}_3$  и  $\text{Ga}_2\text{Se}_3$  с различной концентрацией примесных атомов Fe, Mn и Eu.

На рис. 2 показана зависимость приведенной высоты интенсивности спектра УРАГК ( $N_0$ ) от концентрации примесей и Eu в соединениях  $\text{Ga}_2\text{S}_3$  и  $\text{Ga}_2\text{Se}_3$ .

Увеличение концентрации примесей приводит к возрастанию  $N_0$ , обусловленному увеличением концентрации центров захвата позитронов. Взаимодействие позитронов с вакансиями приводит к возникновению пространственной локализации позитронов в области дефектов решетки. Поскольку позитроны отталкиваются атомными ядрами, позитронам энергетически выгодно занимать вакантные места в кристаллической решетке. Сужение кривых угловых корреляций происходит вследствие того, что в областях дефектов, захватывающих позитроны, возрастает доля электронов с малыми импульсами по сравнению с «чистыми» кристаллами  $\text{Ga}_2\text{S}_3(\text{Se}_3)$ .

Для изучения свойств твердых тел с помощью позитронов существуют три основных метода. Один из них основан на эффекте угловой корреляции между двумя образующимися аннигиляционными квантами. Если  $f(p_x, p_y, p_z)$  — функция распределения аннигилирующих электронно-позитронных пар по импульсам, то экспериментально измеряемая скорость счета  $N(\theta = p_t/mc)$  как функция угла, определяющего отклонение направления вылета гамма-квантов от  $180^\circ$ , для установки «длинно-щелевой» геометрии определяется выражением

$$N(\theta) = A \int_{-\infty}^{\infty} \int_{-\infty}^{\infty} f(p_x, p_y, \theta mc) dp_x dp_y,$$

где  $A$  — некоторая константа.

Если не учитывается кинетическая энергия позитрона по сравнению с кинетическими энергиями электронов в твердом теле, то  $f(p_x, p_y, p_z)$  описывает распределение электронов по импульсам. Это позволяет исследовать распределение электронов внешних атомных оболочек по проекции их импульса.

На рис. 1 представлены типичный спектр УРАГК для «чистых»  $\text{Ga}_2\text{S}_3$  (1) и легированных  $\text{Ga}_2\text{S}_3\langle\text{Fe}\rangle$  (2) образцов при комнатной температуре. Из этого рисунка

видно, что легирование приводит к увеличению приведенной высоты  $N_0$  и уменьшению полуширины  $\Gamma_0$  спектра. Отсюда можно заключить, что при легировании в соединении  $\text{Ga}_2\text{S}_3$  возрастает количество центров захвата позитронов. Это заключение подтверждают результаты измерений спектров УРАГК в соединениях  $\text{Ga}_2\text{S}_3$  и  $\text{Ga}_2\text{Se}_3$  с различной концентрацией примесных атомов Fe, Mn и Eu.

На рис. 2 показана зависимость приведенной высоты интенсивности спектра УРАГК ( $N_0$ ) от концентрации примесей и Eu в соединениях  $\text{Ga}_2\text{S}_3$  и  $\text{Ga}_2\text{Se}_3$ .

Увеличение концентрации примесей приводит к возрастанию  $N_0$ , обусловленному увеличением концентрации центров захвата позитронов. Взаимодействие позитронов с вакансиями приводит к возникновению пространственной локализации позитронов в области дефектов решетки. Поскольку позитроны отталкиваются атомными ядрами, позитронам энергетически выгодно занимать вакантные места в кристаллической решетке. Сужение кривых угловых корреляций происходит вследствие того, что в областях дефектов, захватывающих позитроны, возрастает доля электронов с малыми импульсами по сравнению с «чистыми» кристаллами  $\text{Ga}_2\text{S}_3(\text{Se}_3)$ .

Захват позитронов дефектами кристаллической решетки влияет также на время жизни позитронов в  $\text{Ga}_2\text{S}_3$ . Известно, что вид спектров аннигиляции позитронов зависит от микроструктуры решетки и от самой природы кристалла, в котором происходит замедление позитрона до тепловых скоростей. Поэтому для сравнения с дефектными кристаллами  $\text{Ga}_2\text{S}_3$

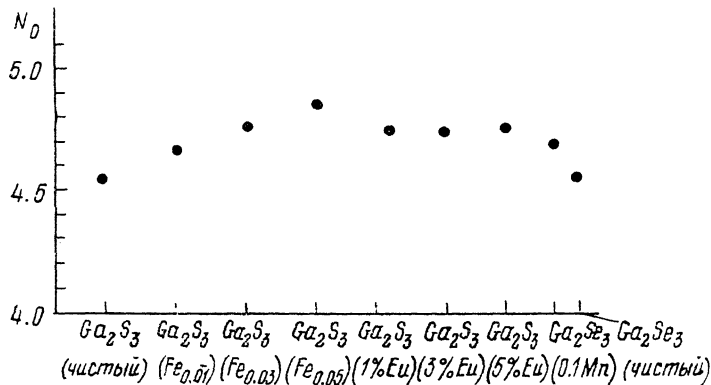


Рис. 2. Зависимость приведенной высоты  $N_0$  спектра УРАГК в  $\text{Ga}_2\text{S}_3$  и  $\text{Ga}_2\text{Se}_3$  от концентрации примесей Fe, Mn и Eu при 290 К.

нами были анализированы результаты измерения времени жизни позитронов в (Ge, Si).

На рис. 3 приводится спектр времени жизни позитронов для «чистого» Ge и соединения  $\text{Ga}_2\text{S}_3$ .

В «чистых» полупроводниковых материалах (Ge, Si) без дефектов значительного различия между значениями времени жизни позитрона не обнаружено ( $\tau \sim 0.25 \cdot 10^{-9}$  с). В легированных образцах время жизни возрастает на ~10 %.

Химическая природа мелких доноров и акцепторов, определяющая тип проводимости Ge и Si, не влияет на время жизни позитрона в Ge и Si.

Совокупность экспериментальных и расчетных данных позволяет сделать заключение, что в бездефектных Ge и Si позитроны аннигилируют преимущественно на валентных электронах. В соединениях типа  $\text{A}^3\text{B}^5$  характер процессов взаимодействия и аннигиляции позитронов сходен с Ge и Si, время жизни позитрона состоит из одной компоненты и составляет  $\sim 240 \pm 250$  ps.

Изучение аннигиляции позитронов в полупроводниках, содержащих в высокой концентрации различного рода дефекты структуры (дислокации, вакансии, поры), позволило установить, что позитроны интенсивно захватываются такими дефектами.

В случае точечных дефектов следует ожидать больших сечений захвата позитронов и больших изменений параметров спектров аннигиляции в том случае, когда дефекты обладают достаточно глубоким уровнем энергии в запрещенной зоне, заряжены отрицательно и их концентрация позволяет наблюдать эффект захвата при достичьмой статистической точности экспериментальных данных. В полупроводниковых соединениях  $\text{GaAs}(\text{Cr})$  примеси типа Cr обладают эффективным отрицательным потенциалом и оказывают влияние на характеристики аннигиляции по-

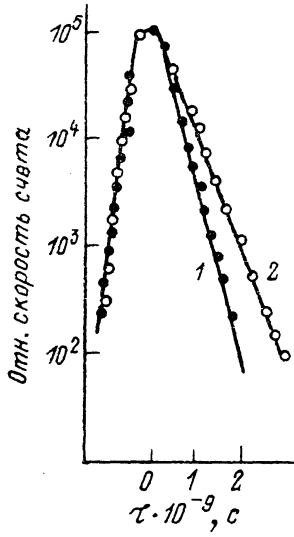


Рис. 3. Спектр времени жизни позитронов в Ge (1) и  $\text{Ga}_2\text{S}_3$  (2).

зитронов — возрастание времени жизни и уменьшение полуширины кривой углового распределения, обусловленное образованием связанных состояний позитрон — глубокий центр. Сечение захвата позитрона глубоким центром определяется по относительному изменению в параметрах спектра углового распределения

$$\sigma_t = J_d [(1 - J_d) \tau_0 V_{e+} N_d]^{-1},$$

где  $J_d$  — относительное изменение параметра спектра (например, приведенная высота кривой углового распределения);  $\tau_0$  — время жизни позитрона в бездефектной области кристалла;  $V_{e+}$  — тепловая скорость термализованного позитрона;  $N_d$  — концентрация центров, захватывающих позитрон;  $\sigma_t$  составляет  $10^{-15}\text{--}10^{-16} \text{ см}^2$ .

В работе [5] изучены дефекты в нелегированном соединении GaAs методом измерения времени жизни позитрона. Обнаружены вакансационные дефекты, их концентрация составляет  $\sim 10^{18} \text{ см}^{-3}$ . При изохронном отжиге дефекты исчезают при  $500^\circ\text{C}$ . Предполагается, что дефекты — вакансии в As-подрешетке, обусловленные нестехиометрическим составом матрицы.

Поскольку локальная электронная структура изменяется в зависимости от зарядового состояния дефекта, следует ожидать, что параметры спектров аннигиляции позитронов будут зависеть от зарядового состояния.

В работе [6], посвященной изучению точечных дефектов в системе As—Se, проанализированы экспериментальные данные, допускающие наличие двух компонент в спектре времени жизни:  $\tau_1 \sim (0.21\text{--}0.22) \times 10^{-9} \text{ с}$  связана со свободной аннигиляцией позитрона;  $\tau_2$  — долгоживущая компонента, связанная с аннигиляцией в отрицательно заряженных точечных дефектах,  $\tau_2 \sim (0.36\text{--}0.37) \cdot 10^{-9} \text{ с}$ .

Концентрацию дефектов можно вычислить исходя из соотношения

$$|\sigma V_{e+}| = J_2 \left( \frac{1}{\tau_1} - \frac{1}{\tau_2} \right), \quad (1)$$

где  $\sigma$  — поперечное сечение захвата позитрона  $10^{-15}\text{--}10^{16} \text{ см}^2$ ;  $V_{e+}$  — тепловая скорость термализованного позитрона;  $\tau_1$  и  $\tau_2$  — значения компонент в спектре времени жизни позитронов ( $\tau_1 < \tau_2$ );  $J_2$  — интенсивность компоненты  $\tau_2$  (долгоживущей).

Соединение	$\tau_1$ , пс	$\tau_2$ , пс	$J_1$ , %	$J_2$ , %	$\Gamma_0$ , мрад
Ga <sub>2</sub> S <sub>3</sub> (чистый)	220	356	47	50	9.5
Ga <sub>2</sub> S <sub>3</sub> (3 % Fe)	195	342	40	57	8.5
Ga <sub>2</sub> S <sub>3</sub> (0.5 % Mn)	275	466	83	15	8.0

Результаты измерений и анализа спектров времени жизни позитронов в соединениях Ga<sub>2</sub>S<sub>3</sub>, легированных Fe и Mn ( $\Gamma_0$  — полуширина спектра УРАГК) представлены в таблице. Из этой таблицы можно видеть, что легирование Fe в соединении Ga<sub>2</sub>S<sub>3</sub> приводит к незначительному изменению интенсивности долгоживущей компоненты  $\tau_2$  ( $J_2$  возрастает от 50 до 57 %) и, собственно, возрастанию центров захвата позитронов, отрицательно заряженных точечных дефектов. Вычисления концентрации центров захвата по формуле (1) дают значения  $c \sim (0.70\text{--}0.90) \cdot 10^{18} \text{ см}^{-3}$ .

Легирование Mn соединения Gd<sub>2</sub>S<sub>3</sub> приводит к существенному изменению параметров спектра времени жизни позитронов, по сравнению с чистым Ga<sub>2</sub>S<sub>3</sub>. Возрастает значение и интенсивности компоненты  $\tau_1$  ( $J_1$ ). Интенсивность долгоживущей компоненты уменьшается до 15 %.

По-видимому, при легировании Mn соединения Ga<sub>2</sub>S<sub>3</sub> изменяется зарядовое состояние центров захвата позитронов, что приводит к большим изменениям параметров спектров времени жизни.

Захват позитронов дефектами типа вакансия приводит к уменьшению полуширины кривой УРАГК Г<sub>0</sub>.

Таким образом, на основании экспериментальных данных по аннигиляции позитронов в дефектных кристаллах Ga<sub>2</sub>S<sub>3</sub>(Se<sub>3</sub>), легированных Fe, Mn и Eu, можно предположить, что сужение корреляционных спектров и возрастание интенсивности соответствующей компоненты временного спектра приводят к образованию связанного состояния позитрона с дефектами кристалла Ga<sub>2</sub>S<sub>3</sub>, что свидетельствует о высокой степени дефектности в этих образцах ( $c \sim 0.9 \cdot 10^{18} \text{ см}^{-3}$ ).

#### Список литературы

- [1] Аскеров И. М., Асланов Г. К., Насреддинов Ф. С., Тагиев Б. Г. // ФТП. 1989. Т. 23. № 6. С. 1083—1087.
- [2] Аскеров И. М., Кобелев В. Ф., Мастеров В. Ф., Тагиев О. Б., Штельмах К. Ф., Лихолит И. Л. // ФТП. 1989. Т. 23. № 7. С. 1307—1309.
- [3] Askerov I. M., Aslanov G. K., Mekhvalov A. O., Hajiev H. F. // Hyperfine inter. 1990. V. 60. P. 699—704.
- [4] Методы позитронной диагностики и расшифровка спектров аннигиляции позитронов. Ташкент: ФАН, 1985.
- [5] Positron annihilation / Ed. P. S. Jaih. 1985. P. 684—686.
- [6] Alekseeva O. K. // Phys. Stat. Sol. (a). 1978. V. 48. P. K169—K173.

Азербайджанский  
ниженерно-строительный институт  
Баку

Поступило в Редакцию  
7 июня 1991 г.